

01; 10

1991 г.

## ОСЕСИММЕТРИЧНЫЕ ЭЛЕКТРОСТАТИЧЕСКИЕ МУЛЬТИПОЛИ, ИХ ПРИЛОЖЕНИЕ

*В. В. Зашквара, Н. Н. Тындык*

Предложен метод нахождения электростатических мультиполей с симметрией вращения и построен класс цилиндрических и сферических мультиполей, пригодных для исправления аберраций в электронно-оптических системах с осевой траекторией в форме окружности.

### Введение

Двумерные электростатические мультиполи, в частности октуполь, применяются для корригирования геометрических аберраций в электронно-оптических устройствах с прямолинейной осью. Поле двумерного мультиполя в приосевой области является функцией высоких степеней координат, характеризующих поперечное смещение с оси, оно не влияет на фокусировку системы в первом приближении, но зато вносит вклад в геометрические аберрации, позволяя управлять изменением потенциала на электродах мультиполя [1]. Аналогичные электронно-оптические системы с криволинейной осью не были известны.

Цель настоящей работы — предложить простой метод расчета электростатических мультиполей с симметрией вращения и показать возможность корригирования угловых аберраций в электронно-оптических системах с осевой траекторией в форме окружности на примере электростатического секторного дефлектора, в котором осуществляется суперпозиция отклоняющего поля (цилиндрического или сферического) и осесимметричного мультиполя.

### Класс электростатических мультиполей с симметрией вращения

Простой метод построения электростатических мультиполей в ортогональных системах координат состоит в следующем. Полагаем, что мультиполь имеет плоскость симметрии, перпендикулярную оси симметрии вращения. Одну из окружностей в пересечении системы эквипотенциальных поверхностей с плоскостью симметрии, имеющую радиус  $r_0$  и лежащую на эквипотенциальной поверхности  $u=0$ , мы назовем центральной. Точку, в которой центральная окружность пересекается с некоторой азимутальной плоскостью, выберем за начало отсчета радиальной координаты  $\rho=(r-r_0)/r_0$ , вторая координата  $s$  ортогональной системы может быть линейной или угловой, начало ее отсчета можно выбрать по-разному. Полагаем, что осесимметричное поле удовлетворяет уравнению Лапласа, дифференциальный оператор которого есть сумма двух разделенных по координатам  $\rho$  и  $s$  операторов  $\Delta=T+\tau$ . Например, в случае цилиндрических координат

$$T = \frac{1}{1+\rho} \frac{d}{d\rho} \left[ (1+\rho) \frac{d}{d\rho} \right], \quad \tau = \frac{d^2}{d\xi^2}, \quad s = \xi, \quad (1)$$

в случае сферических

$$T = \frac{d}{d\rho} \left[ (1 + \rho)^2 \frac{d}{d\rho} \right], \quad \tau = \frac{1}{\sin \theta} \frac{d}{d\theta} \left[ \sin \theta \frac{d}{d\theta} \right], \quad s = \theta. \quad (2)$$

Введем множество функций  $f_n(\rho)$  и  $\varphi_n(s)$ , принимая следующие правила генерации их:

$$Tf_n = -f_{n-1}, \quad (3)$$

$$\tau\varphi_n = \varphi_{n-1}, \quad n = 1, 2, 3 \dots, \quad (4)$$

а в качестве базовых возьмем решения уравнений  $Tf_0=0$ ,  $\tau\varphi_0=0$ .

Покажем, что функция двух переменных  $u_n(\rho, s)$ , построенная из элементов множеств (3) и (4) по схеме

$$u_n(\rho, s) = \varphi_n f_0 + \varphi_{n-1} f_1 + \varphi_{n-2} f_2 + \dots + \varphi_1 f_{n-1} + \varphi_0 f_n = \sum_{m=0}^n \varphi_{n-m} f_m, \quad (5)$$

является гармонической, т. е. удовлетворяет условию  $\Delta u_n = 0$ . В результате действия оператора  $T + \tau$  на  $u_n(\rho, s)$ , используя (3) и (4), получаем

$$\Delta u_n(\rho, s) = \sum_{m=0}^n \varphi_{n-m} T(f_m) + \sum_{m=0}^n \tau(\varphi_{n-m}) \cdot f_m = - \sum_{m=1}^n \varphi_{n-m} f_{m-1} + \sum_{m=0}^{n-1} \varphi_{n-m-1} \cdot f_m, \quad (6)$$

$\varphi_{-1} = f_{-1} = 0$ ; сдвигая индекс суммирования  $m$  в первой сумме на единицу, убеждаемся в том, что суммы в (6) равны по величине и противоположны по знаку.

Таким образом, действительно  $\Delta u_n(\rho, s) = 0$ . Функции  $f_n$  и  $\varphi_m$  содержат по два произвольных параметра интегрирования. Построение мультиполей определенного типа связано с конкретным выбором базовых функций  $f_0(\rho)$ ,  $\varphi_0(s)$  и граничных условий, которым должны удовлетворять функции  $f_n(\rho)$  и  $\varphi_n(s)$ . Возможных вариантов здесь много, они охватывают различные типы осесимметричных мультиполей в том числе и те, которые являются прямыми аналогами известных двумерных мультиполей. Класс же двумерных мультиполей элементарно воссоздается по предлагаемому методу, для чего составляющие лапласиан дифференциальные операторы следует взять в декартовых координатах  $T = d^2/(dx^2)$ ,  $\tau = d^2/(dy^2)$ , а в качестве базовых функций выбрать решения  $f_0(x) = \varphi_0(y) = 1$ . Действительно, согласно принятым нами правилам генерации (3) и (4), для нулевых граничных условий получим

$$f_n(x) = (-1)^n \frac{x^{2n}}{(2n)!}, \quad \varphi_n(y) = \frac{y^{2n}}{(2n)!}. \quad (7), (8)$$

Схема (5) приводит к общей формуле плоского мультиполя любого порядка

$$u_n(x, y) = \sum_{m=0}^n (-1)^m \frac{x^{2m} y^{2(n-m)}}{(2m)! [2(n-m)]!}, \quad (9)$$

при  $n=1$   $u_1(x, y) = (1/2)(y^2 - x^2)$  — квадруполь; при  $n=2$   $u_2(x, y) = (1/4!) \times (y^4 - 6x^2y^2 + x^4)$  — октополь, и т. д.

Для решения поставленной нами задачи коррелирования осесимметричными мультиполями геометрических аберраций в электростатическом энергоанализаторе дефлекторного типа примем, во-первых, что  $f_0(\rho)$  является фундаментальным решением уравнения Лапласа, удовлетворяющим граничному условию  $f_0(0) = 0$ , а  $\varphi_0(s) = 1$ . Во-вторых, сузим множество гармонических функций  $u_n(\rho, s)$ , потребовав, чтобы при  $n \neq 0$   $f_n(0) = 0$ ,  $(\partial f_n / \partial \rho)|_{\rho=0} = 0$ ,  $\varphi_n(s_0) = 0$  ( $s_0$  — значение координаты  $s$  в плоскости симметрии),  $(\partial \varphi_n / \partial s)|_{s=s_0} = 0$ , так как мультиполь имеет плоскость симметрии.

Каждое из уравнений системы (3) можно представить в следующей обобщенной форме:

$$Tf_n = \psi_1(\rho) \frac{d^2 f_n}{d\rho^2} + \psi_2(\rho) \frac{df_n}{d\rho} = -f_{n-1}, \quad (10)$$

где  $\psi_1(\rho)$  и  $\psi_2(\rho)$  — функции, непрерывные в окрестности  $\rho=0$ .

Из (10) следует, что  $(d^2 f_n / d\rho^2)|_{\rho=0} = 0$ , так как, согласно требованию,  $(df_n / d\rho)|_{\rho=0} = f_{n-1}(0) = 0$ . В соответствии с (5) в этом случае разложение поля  $u_n(\rho, s_0)$  в ряд по  $\rho$  вблизи центральной окружности  $\rho=0$  начинается со следующего степени не ниже третьей относительно  $\rho$ . Построим поля (5) в цилиндрических и сферических координатах.

### Электростатический цилиндрический мультиполь

Координата  $s = \xi = z/r_0$  является линейной и отсчитывается в направлении оси симметрии. Операторы  $T$  и  $\tau$  определены формулами (1). Фундаментальным решением уравнения Лапласа в этом случае является функция  $f_0 = \ln(1 + \rho)$ . По правилам генерации (3) и (4) для граничных условий  $f_n(0) = (\partial f_n / \partial \rho)|_{\rho=0} = 0$ ,  $\varphi_n(0) = (\partial \varphi_n / \partial \xi)|_{\xi=0} = 0$  получим несколько функций  $f_n$  и  $\varphi_n$ .

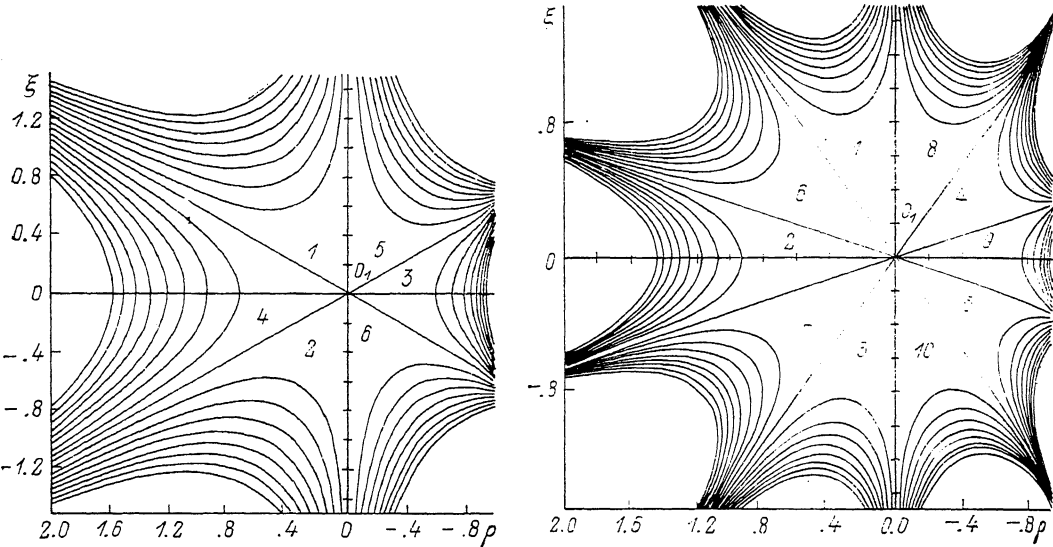


Рис. 1. Семейство эквипотенциалей цилиндрического секстиполя  $u_1(\rho, \xi)$ .

1—3, 4—6 — области потенциалов противоположных знаков.

Рис. 2. Семейство эквипотенциалей цилиндрического декаполя  $u_2(\rho, \xi)$ .

1—5, 6—10 — области потенциалов противоположных знаков.

$$f_1(\rho) = -\frac{1}{4}(1 + \rho)^2 \ln(1 + \rho) + \frac{1}{4}(1 + \rho)^2 - \frac{1}{4} \ln(1 + \rho) - \frac{1}{4}, \quad (11)$$

$$4! f_2(\rho) = \frac{3}{8}(1 + \rho)^4 \ln(1 + \rho) - \frac{9}{16}(1 + \rho)^4 + \frac{3}{2}(1 + \rho)^2 \ln(1 + \rho) + \frac{3}{8} \ln(1 + \rho) + \frac{9}{16}, \quad (12)$$

$$256 \cdot f_3(\rho) = -\frac{1}{9}(1 + \rho)^6 \ln(1 + \rho) + \frac{11}{54}(1 + \rho)^6 - (1 + \rho)^4 \ln(1 + \rho) + \frac{1}{2}(1 + \rho)^4 - (1 + \rho)^2 \ln(1 + \rho) - \frac{1}{2}(1 + \rho)^2 - \frac{1}{9} \ln(1 + \rho) - \frac{11}{54}, \quad (13)$$

$$\varphi_0 = 1, \quad \varphi_1 = \frac{1}{2} \xi^2, \quad \varphi_2 = \frac{1}{4!} \xi^4, \quad \dots, \quad \varphi_n = \frac{1}{(2n)!} \xi^{2n}. \quad (14)$$

По схеме (5) построим две первые гармонические функции  $u_n(\rho, \xi)$

$$u_1(\rho, \xi) = \varphi_1 f_0 + \varphi_0 f_1 = \frac{1}{2} \left\{ \ln(1 + \rho) \left[ \xi^2 - \frac{1}{2}(1 + \rho)^2 - \frac{1}{2} \right] + \frac{1}{2} (1 + \rho)^2 - \frac{1}{2} \right\}, \quad (15)$$

$$u_2(\rho, \xi) = \varphi_2 f_0 + \varphi_1 f_1 + \varphi_0 f_2 = \frac{1}{4} \left\{ \ln(1 + \rho) \left[ \xi^4 - 3\xi^2(1 + \rho)^2 - 3\xi^2 + \frac{3}{8}(1 + \rho)^4 + \frac{3}{2}(1 + \rho)^2 + \frac{3}{8} \right] + 3\xi^2(1 + \rho)^2 - 3\xi^2 - \frac{9}{16}(1 + \rho)^4 + \frac{9}{16} \right\}. \quad (16)$$

На рис. 1, 2 через интервал в 0, 1 относительной величины потенциала представлены семейства эквипотенциальных полей  $u_1(\rho, \xi)$  и  $u_2(\rho, \xi)$ . В сечении плоскостью  $\rho, \xi$  каждое из полей разбито на чередующиеся области, в которых потенциалы противоположны по знаку. Эти области разделены линиями нулевого потенциала, близкими к прямолинейным и сходящимися в узловой точке  $O_1(\rho = \xi = 0)$ . Например, для  $u_1(\rho, \xi)$  уравнением линий нулевого потенциала, разделяющих поле на шесть областей, является

$$\rho = 0, \quad \xi = \pm \frac{1}{\sqrt{2}} \sqrt{2 + \rho(2 + \rho) \left[ 1 - \frac{1}{\ln(1 + \rho)} \right]} \quad (17)$$

— это образующая цилиндра  $\rho = 0$  и пара линий, скрещивающихся в точке  $O_1$ , в окрестности которой  $\xi = \pm(1/\sqrt{3})\rho$ . Из рис. 1 и 2 следует, что в сечении аксиальной плоскостью  $\rho, \xi$  поля  $u_1$  и  $u_2$  образованы секступольными и декапольными наборами электродов, несущих знакопеременные потенциалы. В общем случае  $u_n(\rho, \xi)$  содержит  $2(2n + 1)$  областей с противоположными по знаку потенциалами.

Отметим следующее свойство цилиндрического мультиполя: радиальная составляющая напряженности поля  $u_n(\rho, \xi)$  на поверхности  $\rho = 0$  меняется с координатой  $\xi$  как  $\xi^{2n}$ . Это свойство вытекает из условия  $(df_n/d\rho)_{\rho=0} = 0$ , которое, как это следует из (5), и приводит к соотношению  $du_n/d\rho|_{\rho=0} = \xi^{2n}$ .

### Электростатический сферический мультиполь

Координата  $s = \theta$  — азимутальный угол в сферической системе координат, в плоскости симметрии поля  $\theta = \pi/2$ . Операторы  $\nabla$  и  $\tau$  определены формулами (2). Фундаментальным решением уравнения Лапласа в этом случае является функция  $f_0 = (1/1 + \rho) - 1$ , удовлетворяющая условию  $f_0(0) = 0$  на сфере  $\rho = 0$ . По правилам генерации (3) и (4) для граничных условий  $f_n(0) = 0$ ,  $(\partial f_n / \partial \rho)|_{\rho=0} = 0$ ,  $\varphi_n(\pi/2) = 0$ ,  $(\partial \varphi_n / \partial \theta)|_{\theta=\pi/2} = 0$  найдем  $f_1(\rho)$ ,  $f_2(\rho)$  и  $\varphi_1(\theta)$ ,  $\varphi_2(\theta)$ .

$$f_1(\rho) = \ln(1 + \rho) \left( 1 + \frac{1}{1 + \rho} \right) - 2 \left( 1 - \frac{1}{1 + \rho} \right), \quad (18)$$

$$f_2(\rho) = -\frac{1}{2} \ln^2(1 + \rho) \left( 1 - \frac{1}{1 + \rho} \right) + 3 \ln(1 + \rho) \left( 1 + \frac{1}{1 + \rho} \right) - 6 \left( 1 - \frac{1}{1 + \rho} \right), \quad (19)$$

$$\varphi_0 = 1, \quad \varphi_1(\theta) = -\ln(\sin \theta), \quad (20)$$

$$\varphi_2(\theta) = \frac{1}{2} (\ln \sin \theta)^2 - \ln(\sin \theta) - \frac{1}{2} \ln^2 \left( \operatorname{tg} \frac{\theta}{2} \right). \quad (21)$$

По схеме (5) построим поля  $u_1(\rho, \theta)$  и  $u_2(\rho, \theta)$  в сферических координатах  $u_1(\rho, \theta) = \varphi_1 f_0 + f_1 = [2 - \ln(\sin \theta)] \left[ \frac{1}{1 + \rho} - 1 \right] + \ln(1 + \rho) \left[ \frac{1}{1 + \rho} + 1 \right], \quad (22)$

$$u_2(\rho, \theta) = \varphi_2 f_0 + \varphi_1 f_1 + f_2 = \left[ \frac{1}{2} \ln^2(\sin \theta) - 3 \ln(\sin \theta) - \frac{1}{2} \ln^2 \left( \operatorname{tg} \frac{\theta}{2} \right) \right] \times \\ \times \left[ \frac{1}{1 + \rho} - 1 \right] - \ln(\sin \theta) \ln(1 + \rho) \left[ \frac{1}{1 + \rho} + 1 \right] + 3 \ln(1 + \rho) \left[ \frac{1}{1 + \rho} + 1 \right] + \\ + \left[ \frac{1}{2} \ln^2(1 + \rho) + 6 \right] \left[ \frac{1}{1 + \rho} - 1 \right]. \quad (23)$$

На рис. 3 представлено семейство эквипотенциалей поля  $u_1(\rho_1, \theta)$ . Для удобства построения использованы декартовы координаты  $x = (1 + \rho) \sin \theta$ ,  $y =$

$= (1 + \rho) \cos \theta$ . Здесь, как и в случае цилиндрического секступоля (рис. 1), в сечении азимутальной плоскостью три ветви нулевого потенциала ( $a_0 b$ ,  $c_0 d$ ,  $e_0 f$ ), скрещивающиеся в узловой точке  $O_1$ , разграничивают поле на шесть областей с потенциалами противоположных знаков. Эту полевую структуру мы назовем сферическим секступолем.

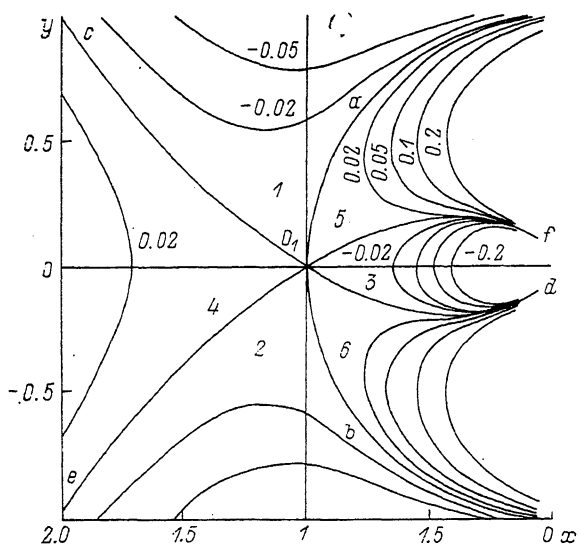


Рис. 3. Семейство эквипотенциалей сферического секступоля  $u_1(x, y)$ .

1—3 и 4—6 — области потенциалов противоположных знаков.

### Секторный электростатический дефлектор на базе суперпозиции осесимметричного секступоля и отклоняющего поля цилиндрического или сферического типа

Оценим те потенциальные возможности, которыми обладают суперпозиция осесимметричного мультиполя и цилиндрического или сферического поля дефлектора для исправления aberrаций последнего. Прежде всего коснемся вопроса о структуре совмещенных полей, полагая, что при их наложении центральная окружность мультиполя совмещается с осевой окружностью дефлектора. Суперпозиция цилиндрического секступоля (15) и цилиндрического поля

$$u(\rho, \xi) = u_1(\rho, \xi) + \mu \ln(1 + \rho), \quad (24)$$

где  $\mu$  — коэффициент, задающий весовой вклад цилиндрического поля, была детально рассмотрена в работе [2], в которой для различных значений  $\mu$  из интервала  $\pm(0.001-10)$  сериями рисунков представлены семейства эквипотенциалей суммарного поля (24). По рисункам можно проследить, как постепенно с ростом  $\mu$  суммарное поле трансформируется от секступоля ( $\mu=0$ ) (рис. 1) к полю, близкому к цилиндрическому. Уже при малых значениях  $\mu$  устраняется узловая точка и скрещенные при  $\mu=0$  нулевые эквипотенциалы разделяются на две симметричные ветви, вершины которых с ростом  $\mu$  удаляются от центра  $O_1$  (рис. 1). Для  $\mu > 0$  удаление вершин происходит вдоль оси  $\rho$ , что затем приводит к слиянию областей поля 1, 2 и 5, 6, вытеснению областей 3 и 4. В случае  $\mu < 0$  вершины нулевых эквипотенциалей смещаются по вертикали и это приводит с ростом  $|\mu|$  к объединению областей 3, 4 и вытеснению областей 1, 2 и 5, 6.

Аналогичным образом видоизменяется структура поля, являющегося суперпозицией сферического секступоля (22) и сферического поля

$$u(x, y) = u_1(x, y) + \mu \left[ \frac{1}{\sqrt{x^2 + y^2}} - 1 \right], \quad (25)$$

если изменять значения весового коэффициента  $\mu$  [2].

Электронно-оптические параметры секторного дефлектора во многом зависят от структуры анализирующего поля в окрестности осевой траектории — окружности радиуса  $r_0$ . Компоненты напряженности поля в этой области представимы рядами

$$E_r = E_0 \left[ 1 + \varepsilon_1 \rho + \varepsilon_2 \rho^2 + \frac{1}{2} (1 - \varepsilon_1 - 2\varepsilon_2) \xi^2 + \varepsilon_3 \rho^3 + \dots \right],$$

$$E_z = E_0 [-(1 + \varepsilon_1) \xi + (1 - \varepsilon_1 - 2\varepsilon_2) \xi \rho]. \quad (26)$$

Используя терминологию метода теории возмущений, можно сказать, что коэффициент  $\varepsilon_1$  связан с электронно-оптическими характеристиками секторного дефлектора, вытекающими из решения задачи о движении заряженных частиц в первом приближении, в частности фокусировкой первого порядка, линейной дисперсией, коэффициентом линейного увеличения, коэффициент  $\varepsilon_2$  определяет абберационные коэффициенты второго порядка, и т. д. Найдем несколько коэффициентов разложения  $\varepsilon_n$  поля цилиндрического дефлектора с аддитивной добавкой линейной комбинации двух цилиндрических мультиполей: секступоля  $u_1(\rho, \xi)$  (15), а также декаполя  $u_2(\rho, \xi)$  (16)

$$\frac{u}{u_0} = -g(r, \xi) = \ln \frac{r}{r_0} + \beta u_1 \left( \frac{r}{r_0}, \xi \right) + \gamma u_2 \left( \frac{r}{r_0}, \xi \right), \quad (27)$$

$\beta$  и  $\gamma$  — постоянные коэффициенты.

Коэффициенты разложения определяются производными от  $g$  по  $r$ , взятыми на осевой траектории  $r = r_0$ ,  $\xi = 0$ ,

$$\varepsilon_n = -\frac{1}{n!} r_0^{n+1} \left. \frac{\partial g^{n+1}}{\partial r^{n+1}} \right|_{r=r_0} = -\frac{1}{n!} \left. \frac{\partial g^{n+1}}{\partial \rho^{n+1}} \right|_{\rho=0}.$$

Множественное дифференцирование (27) дает

$$\left. \frac{\partial g}{\partial \rho} \right|_{\rho=0} = -1, \quad \left. \frac{\partial^2 g}{\partial \rho^2} \right|_{\rho=0} = 1, \quad \left. \frac{\partial^3 g}{\partial \rho^3} \right|_{\rho=0} = -2 \left( 1 - \frac{\beta}{2} \right),$$

$$\left. \frac{\partial^4 g}{\partial \rho^4} \right|_{\rho=0} = 6 \left( 1 - \frac{1}{3} \beta \right), \quad \left. \frac{\partial^5 g}{\partial \rho^5} \right|_{\rho=0} = -24 \left( 1 - \frac{7}{24} \beta + \gamma \right), \quad (28)$$

$$\varepsilon_1 = -1, \quad \varepsilon_2 = 1 - \frac{\beta}{2}, \quad \varepsilon_3 = -\left( 1 - \frac{1}{3} \beta \right), \quad \varepsilon_4 = 1 - \frac{7}{24} \beta + \frac{1}{24} \gamma. \quad (29)$$

Таким же путем находятся коэффициенты разложения в ряды (26) суперпозиции поля электростатического сферического дефлектора и линейной комбинации двух сферических мультиполей  $u_1(\rho, \theta)$  (22) и  $u_2(\rho, \theta)$  (23)

$$\frac{u}{u_0} = g(r, \theta) = \frac{1}{r/r_0} - 1 + \beta u_1 \left( \frac{r}{r_0}, \theta \right) + \gamma u_2 \left( \frac{r}{r_0}, \theta \right). \quad (30)$$

В этом случае

$$\varepsilon_1 = -2, \quad \varepsilon_2 = 3 - \frac{1}{2} \beta, \quad \varepsilon_3 = -4 + \frac{4}{3} \beta, \quad \varepsilon_4 = 5 - \frac{29}{12} \beta + \frac{1}{24} \gamma. \quad (31)$$

На основании (29) и (31), обобщая, можно заключить, что добавление к основному полю дефлектора — цилиндрическому или сферическому — мультиполя  $u_1$  изменяет коэффициенты разложения (26), начиная с квадратичных слагаемых, а подключение мультиполя  $u_2$  — со слагаемых четвертого и более высоких порядков. Это означает, что выбором значений коэффициентов  $\beta$ ,  $\gamma$  и других, задающих весовой вклад мультиполей, можно управлять величинами абберационных коэффициентов дефлектора четного порядка.

Траектории заряженных частиц в электростатическом секторном дефлекторе с отклоняющим полем (26) рассчитаны ранее методом возмущения, что позволяет нам выяснить, как влияет на фокусировку дефлектора аддитивная добавка секступоля к основному отклоняющему полю — цилиндрическому или сферическому. В качестве вспомогательных данных мы взяли результаты работы [3], в которой в первом и втором приближениях по малым возмущаю-

щим траектории параметрам получены общие формулы, описывающие электронно-оптические характеристики секторного дефлектора, радиальная составляющая напряженности отклоняющего поля которого представлена рядом (26). Для основного цилиндрического или сферического поля коэффициенты  $\epsilon_i$  определены формулами (29), (31) соответственно, в которых  $\beta = \gamma = 0$ . С целью упростить задачу мы сохранили только один возмущающий параметр  $\alpha$  — угол наклона побочной траектории в плоскости симметрии поля, пренебрегли размерами источника, приняв его точечным, и угловой расходимостью пучка в аксиальной плоскости, проходящей через ось симметрии поля. Так же как и в [3], пренебрегли возмущающим действием краевых полей на границах сектора, но при входе в дефлектор учли изменение энергии заряженной частицы, траектория которой наклонена к осевой.

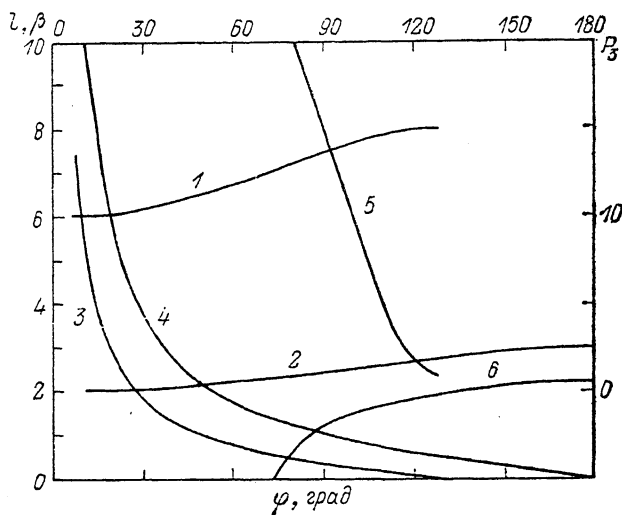


Рис. 4. Функции  $\beta(\varphi)$  (1, 2),  $l(\varphi)$  (3, 4),  $P_3$  (5, 6) для ДЦТ и ДСТ соответственно.

В первом приближении по  $\alpha$  и другим возмущающим параметрам электронно-оптические характеристики дефлектора, зависящие от коэффициента  $\epsilon_1$ , не испытывают влияния добавки  $\beta u_1$  и соответствуют таковым для дефлектора с основным полем, для которого условие угловой фокусировки первого порядка по  $\alpha$  и линейная дисперсия по энергии имеют следующий вид:

$$l_2 = \frac{l_1 \operatorname{ctg} \sqrt{\eta} \varphi + \frac{1}{\sqrt{\eta}}}{l_1 \sqrt{\eta} - \operatorname{ctg} \sqrt{\eta} \varphi}, \quad D = \frac{1}{\eta} (1 - \cos \sqrt{\eta} \varphi + l_2 \sqrt{\eta} \sin \sqrt{\eta} \varphi), \quad (32), (33)$$

где  $\eta = 3 + \epsilon_1$  равно 2 для цилиндрического поля и 1 для сферического;  $l_1$  и  $l_2$  — плечи дефлектора, т. е. относительные расстояния (в единицах  $r_0$ ) от источника и изображения до границ сектора;  $\varphi$  — секторный угол.

Аберрационные коэффициенты, определяющие качество угловой фокусировки, характеризуют размытие изображения второго и более высокого порядков относительно  $\alpha$ . Поскольку аберрационные коэффициенты дефлектора зависят от  $\epsilon_2$  и других коэффициентов разложения (26), которые в свою очередь зависят от коэффициента  $\beta$ , задающего весовой вклад осесимметричного секступоля  $u_1$ , то, таким образом, мы располагаем дополнительным полевым параметром, который мы выбрали исходя из требования равенства нулю коэффициента угловой квадратичной аберрации по  $\alpha$ . Графически зависимости  $\beta(\varphi)$ , рассчитанные в этих условиях для случая равных плеч  $l_1 = l_2 = l = (1/\sqrt{\eta}) \operatorname{ctg}(\sqrt{\eta}/2) \varphi$ , представлены на рис. 4: кривая 1 — дефлектор цилиндрического типа (ДЦТ), кривая 2 — дефлектор сферического типа (ДСТ), кривые 3 и 4 — зависимости  $l(\varphi)$  для ДЦТ и ДСТ соответственно. Для оценки выигрыша в светосиле дефлектора с добавкой к основному полю осесимметричного секступоля  $\beta u_1$ ,

компенсирующего квадратичную угловую aberrацию, необходимо было также учесть вклад угловой кубической aberrации. С этой целью нами была решена задача о нахождении поправки к траектории в поле (26) в третьем приближении по углу расходимости пучка  $\alpha$ . Графики зависимости коэффициента угловой кубической aberrации  $P_3$  от  $\varphi$  в условиях угловой фокусировки второго порядка дефлектора представлены кривыми 5 (ДЦТ) и 6 (ДСТ). Из рис. 4 следует, что если значения весового множителя  $\beta$  находятся в диапазоне 6—8 для ДЦТ и 2—3 для ДСТ, то аддитивная добавка осесимметричного секступоля  $\beta u_1$  к основному цилиндрическому и соответственно сферическому полю позволяет в широком диапазоне секторного угла  $\varphi$  сводить к нулю угловую квадратичную aberrацию дефлектора. В случае ДЦТ  $P_3(\varphi)$  — кривая с максимумом при  $\varphi=12.6^\circ$ , которая с ростом  $\varphi$ , оставаясь в области положительных значений, снижается до величины  $P_3=0.9$  при  $\varphi=127.3^\circ$ . В случае же ДСТ aberrационный коэффициент  $P_3$  в диапазоне  $\varphi=0-125^\circ$  отрицателен, причем сильно возрастает по абсолютной величине в области малых  $\varphi$ ; при  $\varphi=125^\circ$   $P_3$  обращается в нуль и с ростом  $\varphi$  переходит в область положительных значений, достигая  $P_3=0.59$  при  $\varphi=180^\circ$ .

Улучшение качества угловой фокусировки в ДЦТ и ДСТ по сравнению с классическими цилиндрическим и сферическим дефлекторами позволит в несколько раз повысить светосилу за счет увеличения угла расходимости пучка в плоскости осевой орбиты  $\alpha$  и симметризовать аппаратную функцию дефлектора в условиях угловой фокусировки более высокого порядка, чем первый.

При рассмотрении ДЦТ и ДСТ мы не учли действие на пучок заряженных частиц краевого поля на границах сектора — фактора, который может влиять на качество угловой фокусировки, поэтому полученные результаты нуждаются в уточнении.

Найдем профиль отклоняющих электродов ДЦТ и ДСТ, призванных обеспечить при подаче на них потенциалов компенсацию квадратичной угловой aberrации дефлектора.

Уравнение эквипотенциалей для ДЦТ следует из (15) и (27)

$$\xi = \pm \sqrt{\frac{2}{\beta} \left\{ \frac{\beta}{4} \left[ \left( \frac{r}{r_0} \right)^2 + 1 \right] + \frac{\frac{\beta}{4} - \frac{u}{u_0} - \frac{\beta}{4} \left( \frac{r}{r_0} \right)^2}{\ln r/r_0} \right\}^{1/2}}. \quad (34)$$

На рис. 5 сплошной линией показан профиль отклоняющих электродов ДЦТ, рассчитанный по формуле (34) для случая  $u/u_0 = \pm 0.2$ ,  $\beta = 8$ ,  $\varphi = 127.3^\circ$ . Видно, что в области прохождения осевой траектории пучка между двумя противоположно заряженными электродами как результат суперпозиции полей сформировалась секторная полость, радиальная ширина которой уменьшается с ростом  $\xi$ . Радиальные координаты крайних точек полости  $a$  и  $b$  составляют  $r_a/r_0 = 1.24235$ ,  $r_b/r_0 = 0.810535$ . Эти значения координат хорошо удовлетворяют известному для цилиндрического дефлектора соотношению между радиусами цилиндрических отклоняющих электродов при симметричном питании и радиусом нулевой эквипотенциали [4]

$$r_0 = \sqrt{r_a r_b}. \quad (35)$$

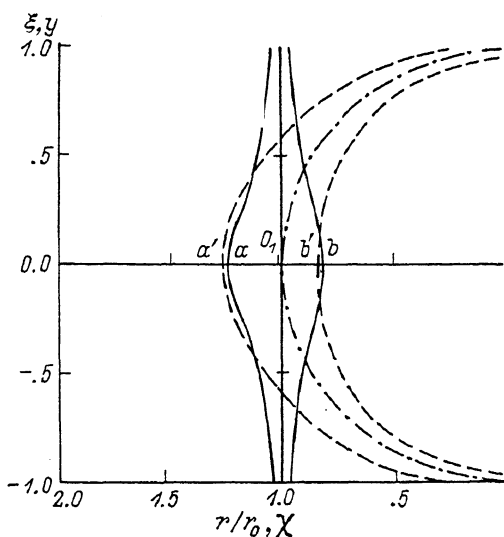


Рис. 5. Профиль электродов дефлекторов. Сплошные линии — ДЦТ, штриховые — ДСТ.



В случае ДСТ, согласно (22) и (27), уравнение эквипотенциалей суть

$$\frac{u}{u_0} = \frac{1}{\sqrt{x^2 + y^2}} - 1 + \beta \left\{ \left( 2 - \ln \frac{x}{\sqrt{x^2 + y^2}} \right) \left( \frac{1}{\sqrt{x^2 + y^2}} - 1 \right) + \right. \\ \left. + \ln(\sqrt{x^2 + y^2}) \left( \frac{1}{\sqrt{x^2 + y^2}} + 1 \right) \right\}. \quad (36)$$

Потенциал сферического поля в (36) равен нулю на окружности  $(1+\rho)^2 + \xi^2 = 1$ . Уравнение (36) не разрешается относительно  $\xi^2$ . На рис. 5 штриховыми линиями представлен профиль ДСТ, рассчитанный для  $u/u_0 = \pm 0.2$ ,  $\beta = 2.715$ ,  $\varphi = 180^\circ$ . Штрихпунктиром обозначена нулевая эквипотенциаль в форме окружности единичного радиуса, на которой лежит осевая траектория пучка, пересекающая плоскость рисунка в точке  $O_1$ . Радиальные координаты крайних точек  $a'$  и  $b'$  на поверхности отклоняющих электродов составляют

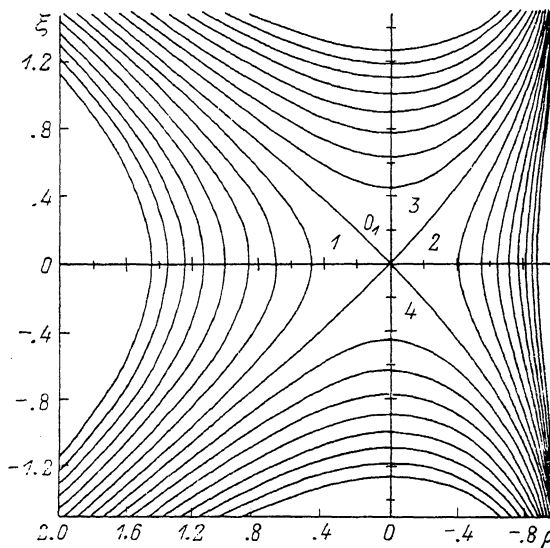


Рис. 6. Семейство эквипотенциалей цилиндрического квадруполь.

1, 2 и 3, 4 — области потенциалов противоположных знаков

$r_a/r_0 = 1.2650$ ,  $r_b/r_0 = 0.8300$  и хорошо удовлетворяют известному для сферического дефлектора соотношению между радиусом нулевой эквипотенциали и радиусами сферических отклоняющих электродов при симметричном питании [4]

$$r_0 = \frac{2r_a r_b}{r_a + r_b}. \quad (37)$$

Отметим еще один класс осесимметричных мультиполей, который можно построить предложенным нами методом в цилиндрических и сферических координатах, если взять базовые функции  $f_0(\rho) = 1$ ,  $\varphi_0 = 1$ , а граничные условия сохранить нулевыми. Следуя правилам (3), (4), (5), в цилиндрических координатах получим

$$u_1(\rho, \xi) = \frac{1}{2} \xi^2 + \frac{1}{4} [1 - (1 + \rho)^2] + \frac{1}{2} \ln(1 + \rho), \quad (38)$$

$$u_2(\rho, \xi) = \frac{1}{4!} \xi^4 + \frac{1}{2} \xi^2 \left\{ \frac{1}{4} [1 - (1 + \rho)^2] + \frac{1}{2} \ln(1 + \rho) \right\} + \frac{1}{64} (1 + \rho)^4 + \\ + \frac{1}{16} (1 + \rho)^2 - \frac{1}{8} \ln(1 + \rho) \left[ \frac{1}{2} + (1 + \rho)^2 \right] - \frac{5}{64}. \quad (39)$$

Эти поля являются аналогами двумерных квадруполь и октуполь, в чем можно убедиться, разложив (38) и (39) в ряды по  $\rho$  и  $\xi$  вблизи центральной окружности  $r=r_0$  и сохранив слагаемые низшего порядка

$$u_1(\rho, \xi) \sim \frac{1}{2}(\xi^2 - \rho^2), \quad u_2(\rho, \xi) \sim \frac{1}{24}(\xi^4 - 6\xi^2\rho^2 + \rho^4). \quad (40), (41)$$

На рис. 6 представлено семейство эквипотенциалей поля  $u_1(\rho, \xi)$  (38).

### Заключение

1. Предложен метод построения осесимметричных электростатических мультиполей в системах координат, в которых лапласиан является суммой разделенных по координатам дифференциальных операторов второго порядка. Найден осесимметричные мультиполи в цилиндрических и сферических координатах.

2. Рассмотрена структура поля, являющегося суперпозицией осесимметричного секступоля и цилиндрического или сферического поля.

3. Показано, что в электростатическом секторном дефлекторе, построенном на основе суперпозиции отклоняющего поля (цилиндрического или сферического) и осесимметричных мультиполей, выбором коэффициентов, определяющих весовой вклад мультиполей, можно управлять абберациями четного порядка. Найден условия компенсации угловой квадратичной абберации с помощью секступоля и рассчитан требуемый для этого профиль отклоняющих электродов дефлектора.

### Список литературы

- [1] Баранов Л. А., Явор С. Я. // Электростатические электронные линзы. М.: Наука, 1986. С. 177—183.
- [2] Зашкеара В. В., Тындык Н. Н. Деп. в ВИНТИ. № 7180-В89. М., 1989.
- [3] Зашкеара В. В. // Тр. Харьковского политехнического института. Сер. инженерно-физ. 1959. Т. 25. № 3. С. 43—60.
- [4] Афанасьев В. П., Явор С. Я. // Электростатические энергоанализаторы для пучков заряженных частиц. М.: Наука, 1978. С. 80, 125.

Институт ядерной физики АН КазССР  
Алма-Ата

Поступило в Редакцию  
1 марта 1990 г.